

# ESTADO LIMITE ÚLTIMO – FORÇA CORTANTE

## 1. Introdução

Considera-se, no que segue, a resistência à força cortante de vigas de concreto armado, de seção constante, para as quais já se tenha obtido as solicitações  $M_d$ ,  $N_d$  e  $V_d$  do Estado Limite Último, através de análise elástica, com ou sem redistribuição das solicitações, ou através de análise elasto-plástica. Supõe-se que as condições de ductilidade estejam satisfeitas, com a limitação da profundidade da LN do ELU – Flexão, ou com a verificação da capacidade de rotação plástica das seções críticas. Tem-se, com isto, os diagramas dos esforços solicitantes decorrentes das cargas devidamente majoradas pelo coeficiente de segurança parcial  $\gamma_f$ , com arranjo espacial e combinação mais desfavorável. Estes diagramas servirão de base para o dimensionamento à força cortante.

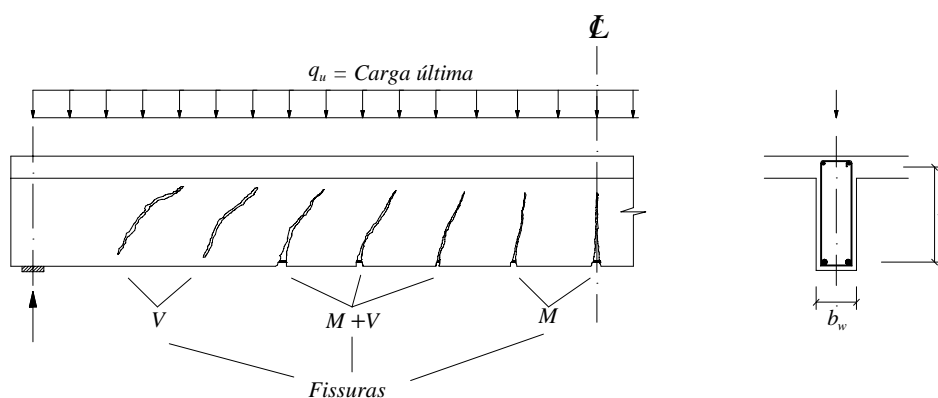


Fig. 1

A força cortante é melhor estudada seguindo-se o fluxo das cargas até os apoios finais, para o que é necessário examinar a peça como um todo e não apenas a seção transversal. A teoria que se pode tomar como base é a que faz uso de campos descontínuos de tensão, nos quais são satisfeitas as condições de equilíbrio e de resistência. Na alma e nas flanges da viga tem-se campos de compressão para o concreto e campos de tração para os estribos, ambos acoplados a banzos longitudinais ("stringers") tracionados (armadura longitudinal) e comprimidos (concreto). Uma simplificação do modelo de campos descontínuos de tensão corresponde a substituí-los pelas resultantes, com o que obtém-se uma treliça (no presente texto) de banzos paralelos.

Como mostra a Fig. 1, na ruína a peça encontra-se extensamente fissurada, com fissuras verticais de flexão, fissuras inclinadas de flexão e de força cortante, e, ainda, fissuras inclinadas apenas na alma da viga, devidas à força cortante. Ao longo das fissuras há transmissão de força cortante por atrito, uma parcela denominada  $V_c$ , ou em termos de tensão tangencial  $\tau_c = V_c / b_w z$ . Por

esta razão, e também porque há transmissão de força cortante no banzo comprimido, a inclinação do campo diagonal de compressão da alma, em relação ao eixo longitudinal da viga, é menor que a inclinação da fissura.

No item 2, mostra-se o uso de campos descontínuos de tensão no dimensionamento de vigas no ELU, indicando-se a correspondente simplificação do modelo resistente representado pela treliça de banzos paralelos, no caso de vigas de seção constante. Neste modelo, a inclinação do campo de compressão é escolhida livremente, usualmente na faixa 45° a 25°, sem qualquer menção à parcela da força cortante transmitida por atrito na fissura e no banzo comprimido.

No item 3, mostra-se o Modelo I de dimensionamento à força cortante adotado na NBR 6118: 2003. No item 4, segue-se as FIP Recommendations, 1999, nas quais encontram-se as equações para a determinação do ângulo de inclinação da fissura, em relação ao eixo longitudinal da peça, nas modalidades de flexo-tração, flexão simples e flexo-compressão, o que permite acoplar a inclinação do campo de compressão à inclinação da fissura. Assim, será possível ver que a Analogia da Treliça Modificada (usada na NBR 6118: 2003 e 1978), ao determinar o ângulo de inclinação do campo de compressão acoplado ao ângulo de inclinação da fissura, é um caso particular do modelo de campos descontínuos de tensão, no qual há liberdade de escolha desse ângulo na faixa mencionada.

A seção resistente à força cortante da alma tem área  $b_w z$ , onde  $z$  é a distância entre os banzos comprimido e tracionado e  $b_w$  é a largura da alma. A fissuração da alma, atuando a força cortante  $V$  e as solicitações normais,  $N$  (negativa, se compressão) e  $M$ , pode ser estimada, de acordo com Marti, P., como segue. Ver a Fig. 2. A tensão média de cisalhamento na alma é dada por:

$$\tau = \frac{V}{b_w z} \quad (1)$$

A tensão normal (negativa se compressão) no CG da seção, de área  $A_0$ , vale:

$$\sigma = \frac{N}{A_0} \quad (2)$$

No instante imediatamente anterior à fissuração diagonal, tem-se a tensão tangencial decorrente da força cortante que produz a fissuração,  $\tau = \tau_{cr}$ , valor que permite obter a força cortante através de (1), e com ela a carga atuante. A direção da tensão principal de compressão é, também, a da fissura diagonal prestes a se formar. As tensões principais no CG da seção transversal, no caso, são dadas por:

$$\sigma_I = \frac{\sigma}{2} + \sqrt{\tau^2 + \left(\frac{\sigma}{2}\right)^2} \quad (3)$$

$$\sigma_{II} = \frac{\sigma}{2} - \sqrt{\tau^2 + \left(\frac{\sigma}{2}\right)^2} \quad (4)$$

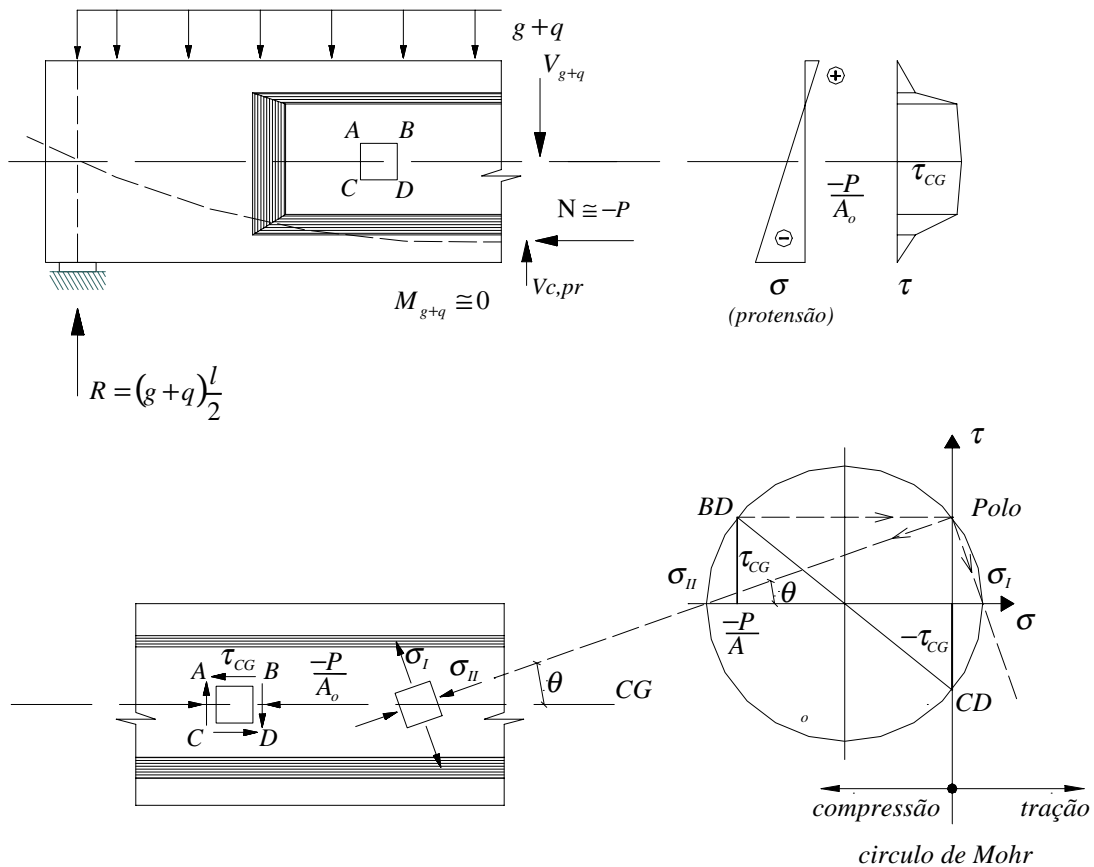


Fig. 2: Tensões principais no CG da seção. Exemplo com força normal de compressão (protensão); a tensão tangencial no CG pode ser substituída pelo valor médio na seção resistente à força cortante, de área  $b_w z$ .

Igualando-se a tensão principal de tração com a resistência à tração concreto (valor característico inferior), i. e.,  $\sigma_I = f_{ctk, \min}$ , resulta de (3):

$$\tau_{cr} = f_{ctk, \min} \sqrt{1 - \frac{N}{A_0 f_{ctk, \min}}} \quad (5)$$

A inclinação da fissura diagonal, prestes a se formar, é dada por:

$$tg\theta_{cr} = -\frac{\tau_{cr}}{\sigma_{II}} = -\frac{1}{\frac{\sigma}{2\tau_{cr}} - \sqrt{1 + \left(\frac{\sigma}{2\tau_{cr}}\right)^2}} \quad (6)$$

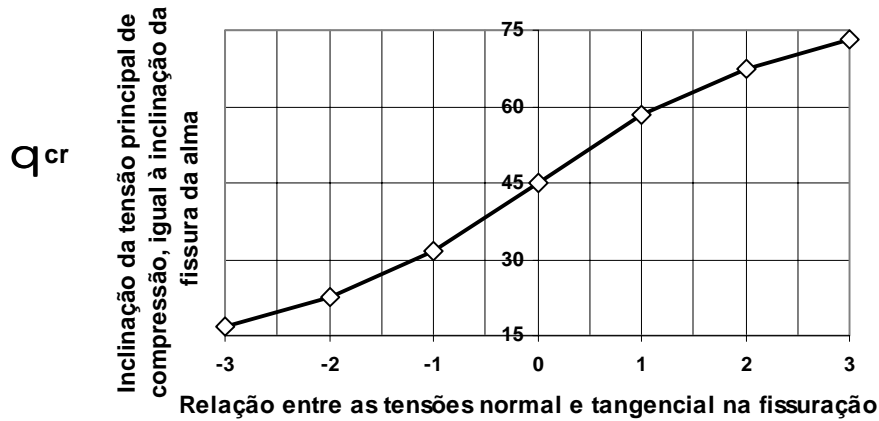


Fig. 3

A Fig. 3 mostra que na flexão simples, com  $\sigma = 0$  no CG, a inclinação da fissura é (aproximadamente)  $45^\circ$ . A tensão principal de compressão, obtida de (4), é igual, em módulo, à tensão tangencial,  $\sigma_{II} = -f_{ctk, \min}$ . A inclinação da fissura diminui se houver compressão axial por força normal (peças protendidas, pilares), e aumenta se houver tração axial. Por exemplo, com  $f_{ck} = 30 \text{ MPa}$ , e  $f_{ctk, \min} = 0,2 f_{ck}^{2/3} \cong 2 \text{ MPa}$ , e se numa peça protendida a tensão normal, originada pela força de protensão, valer  $\sigma = -0,15 f_{ck} = -4,5 \text{ MPa}$ , resultariam  $\frac{\sigma}{\tau_{cr}} = \frac{-4,5}{2} \cong -2,25$ ,  $\theta_{cr} = 20,8^\circ$  e de (4):

$$\sigma_{II} = \frac{-4,5}{2} - \sqrt{2^2 + \left(\frac{-4,5}{2}\right)^2} = -2,25 - 3,0 = -5,25 \text{ MPa}.$$

Se, ao contrário, houvesse uma tensão de tração igual a  $\sigma = 0,15 f_{ck} = 4,5 \text{ MPa}$ , a inclinação da fissura seria  $\theta_{cr} = 69,2^\circ$ , e a tensão principal de compressão diminuiria para:

$$\sigma_{II} = \frac{4,5}{2} - \sqrt{2^2 + \left(\frac{4,5}{2}\right)^2} = 2,25 - 3,0 = -0,75 \text{ MPa}$$

Obtida a tensão tangencial no CG da seção, imediatamente antes da fissuração, estima-se a força cortante correspondente (junto ao apoio, onde a força  $V$  é máxima) da seguinte expressão:

$$V_{(g+q)_{cr}} \cong \tau_{cr} b_w z \quad (7)$$

onde a altura da seção resistente à força cortante,  $z$ , o mesmo que a distância entre os banzos comprimido e tracionado, pode ser igualada a 90% da altura da útil seção, ou seja,  $z \cong 0,9d$ . Se houver força cortante proveniente da protensão,  $V_{c,pr}$ , a força cortante efetiva na seção de concreto diminui,  $V_{ef} = V_{(g+q)cr} - V_{c,pr}$ , cf. mostra a Fig. 2. Com isto, é maior a carga externa necessária à fissuração da alma (efeito igual ocorre na fissuração por flexão).

Como se pode esperar, a força normal de compressão atua favoravelmente, pois diminui a abertura da fissura da alma e aumenta o atrito (e o engrenamento do agregado graúdo, se a fissura se der na argamassa, contornando-o) entre as faces da fissura. No caso da protensão, há, pois, dois *efeitos favoráveis*: o primeiro proveniente da compressão axial (cabos retos e curvos), e o segundo vindo da força cortante contrária à da carga externa (cabos curvos), e ambos reduzem consideravelmente a armadura necessária para resistir à força cortante. Com freqüência, essa armadura transversal (estribos) resulta mínima, conforme os valores especificados nas normas.

## 2. Dimensionamento à Força Cortante

Na figura 4, representam-se os campos descontínuos de tensão e os modelos de treliça para uma viga T, sujeita a uma carga uniformemente distribuída ao longo do vão, considerando-se três ângulos  $\theta$  do campo diagonal de compressão, a saber,  $45^\circ$ ,  $33,7^\circ$  e  $26,6^\circ$ , correspondentes a  $\cot\theta = 1$ ,  $\cot\theta = 1,5$  e  $\cot\theta = 2$ . Conforme mostra a Fig. 4b, os campos descontínuos de tensão podem ser formados por chapas em forma de leque e paralelogramos, justapostos entre si. Nestes últimos, há um estado uniforme de compressão, cuja tensão principal tem direção dada pelo ângulo  $\theta$ . No lado comum a dois paralelogramos há um salto, também uniforme, nessa tensão. Salto de intensidade variável ocorre ao longo da reta comum ao paralelogramo e ao leque. A tensão principal de tração é considerada nula, mas seu efeito é levado em conta na resistência  $f_{cd2}$  do concreto da alma. Estes campos de tensão podem ser substituídos, como simplificação, por uma treliça. As forças nas barras das treliças, correspondentes aos ângulos escolhidos, estão mostradas nas Figuras 4c, 4d e 4e, e delas conclui-se que:

- (a) No banzo tracionado, **para  $\theta$  decrescente**, aumentam a armadura longitudinal e a força a ancorar no apoio. Simultaneamente, cai o consumo de estribos. Isto pode ser provado através do seguinte cálculo do volume total da armadura correspondente, em que são desprezados os comprimentos de ancoragem e ganchos ( $f_{ywd}$  e  $f_{yd}$  são os valores de cálculo das resistências ao escoamento das armaduras, respectivamente, transversal e longitudinal;  $c_1$  é a altura do estribo):

$$\theta = 45^\circ: \quad \Sigma V_{sw} = c_1 \frac{600 + 480 + 360 + 240 + 120}{f_{ywd}} = c_1 \frac{1800}{f_{ywd}}$$

$$\Sigma V_{sl} = \frac{0,4 \times 360 + 0,8(960 + 1440 + 1470 + 1740) + 1,2 \times 2160}{f_{yd}} = \frac{7224}{f_{yd}}$$

$$\theta = 33,7^\circ: \Sigma V_{sw} = c_1 \frac{540 + 360 + 180}{f_{ywd}} = c_1 \frac{1080}{f_{ywd}}$$

$$\Sigma V_{sl} = \frac{0,6 \times 540 + 1,2(1350 + 1890) + 1,8 \times 2160}{f_{yd}} = \frac{8100}{f_{yd}}$$

$$\theta = 26,6^\circ: \Sigma V_{sw} = c_1 \frac{480 + 240}{f_{ywd}} = c_1 \frac{720}{f_{ywd}}$$

$$\Sigma V_{sl} = \frac{0,8 \times 720 + 1,6 \times 1680 + 2,4 \times 2160}{f_{yd}} = \frac{8448}{f_{yd}}$$

Desconsiderando a necessidade de armadura mínima, o consumo de estribos para o menor ângulo  $\theta$  é apenas  $720/1800 = 40\%$  do consumo de estribos para o maior ângulo. Em contrapartida, a armadura longitudinal aumenta  $(\frac{8448}{7224} - 1) \times 100 = 17\%$ .

- (b) O consumo de armadura por força cortante – a transversal mais a longitudinal – é pouco sensível à escolha do ângulo  $\theta$  (pondo  $c_1 \cong 0,95 m$  e  $f_{ywd} = f_{yd}$ ), como mostra o seguinte cálculo:

$$\Sigma V_{sw} + \Sigma V_{sl} = \frac{1}{f_{yd}} \begin{Bmatrix} 8934 \\ 9126 \\ 9132 \end{Bmatrix} \text{ para } \theta = \begin{Bmatrix} 45^\circ \\ 33,7^\circ \\ 26,6^\circ \end{Bmatrix}$$

- (c) A tensão de compressão no concreto da alma aumenta **para  $\theta$  decrescente**, cf. a Equação (10):

$$\sigma_{c wd} = \frac{V_d}{b_w z} (\tan \theta + \cot \theta) = \frac{V_d}{b_w z} \begin{Bmatrix} 2,0 \\ 2,17 \\ 2,5 \end{Bmatrix} \text{ para } \theta = \begin{Bmatrix} 45^\circ \\ 33,7^\circ \\ 26,6^\circ \end{Bmatrix}$$

- (d) A carga atuante na face superior da viga e situada no leque dirige-se diretamente ao apoio; portanto, esta parcela da carga não afeta a força no estribo. No leque, deve-se cuidar apenas da tensão de compressão no concreto junto à placa de apoio ou no correspondente nó. Ver adiante.

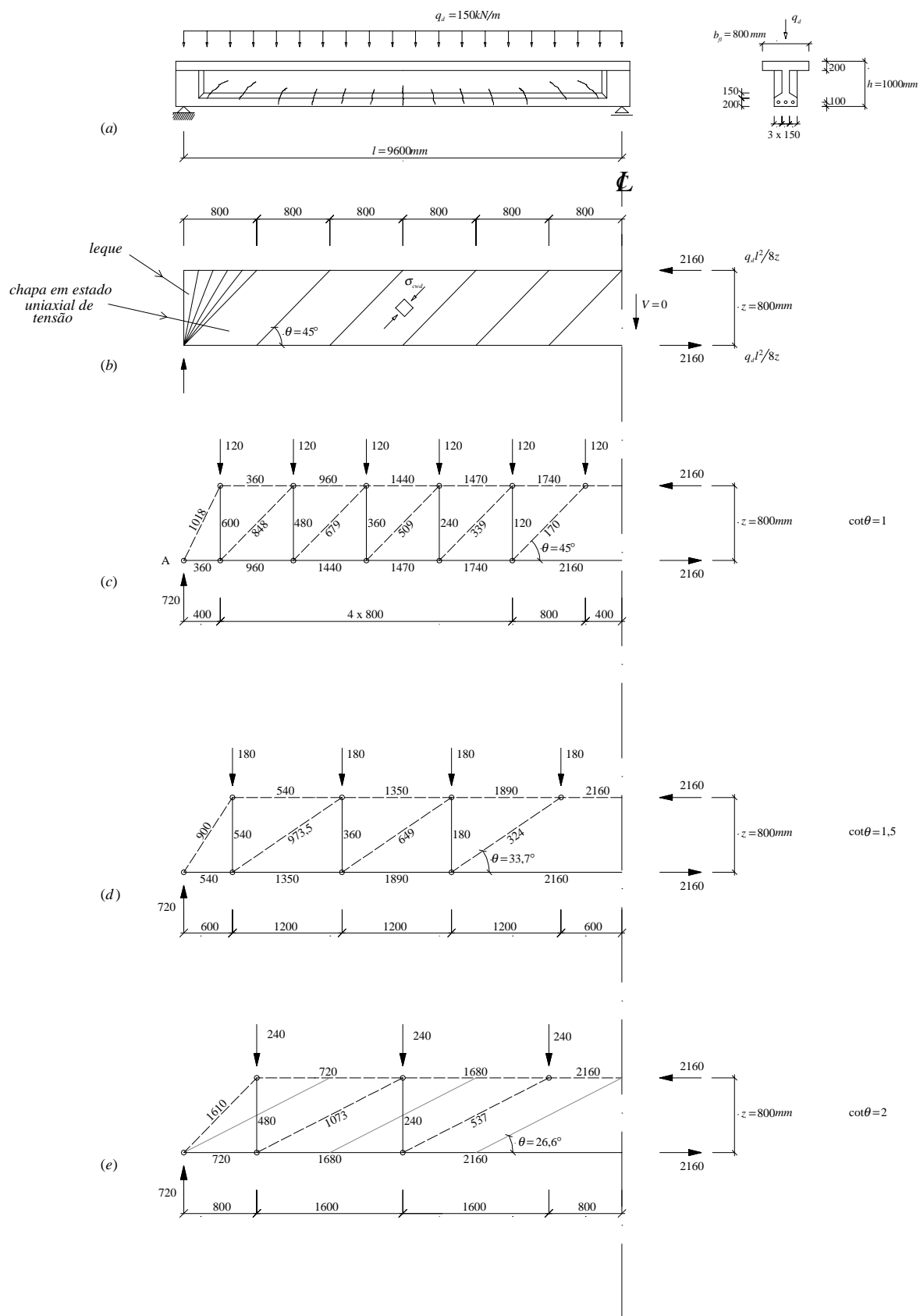


Fig. 4

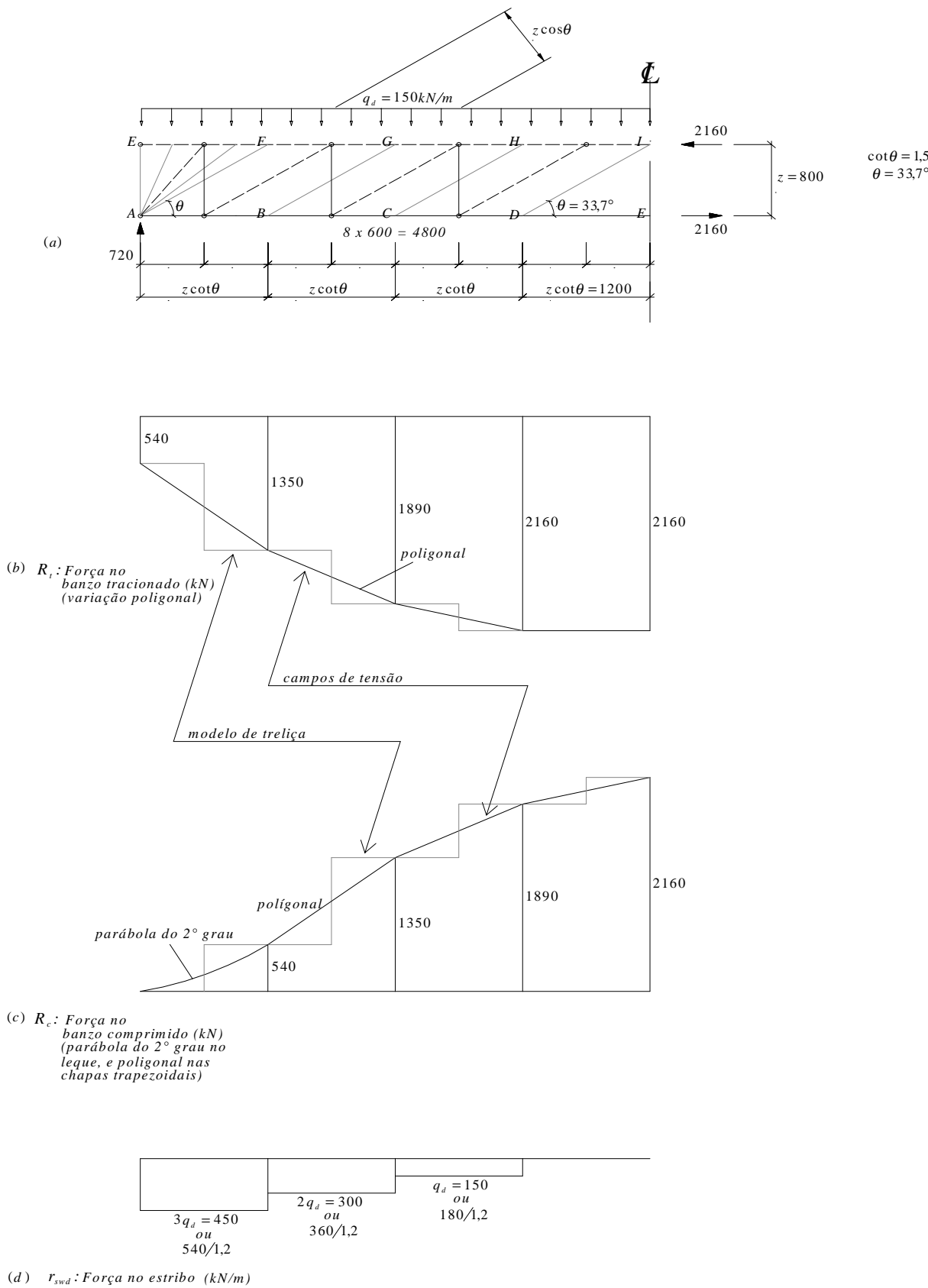


Fig. 5



A Fig. 5 detalha as forças nos banzos e o cálculo da armadura transversal no segmento da viga onde a força cortante mantém seu sinal. O gráfico da força no banzo tracionado, cf. a Fig. 5b, permite interromper a armadura longitudinal, bastando apenas adicionar o comprimento de ancoragem.

O leque centrado, cf. a Fig. 6, é uma simplificação e, na realidade, deve-se considerar a geometria do apoio, de extensão  $a_o$ , com o que o ângulo da resultante de compressão do leque passa a ser:

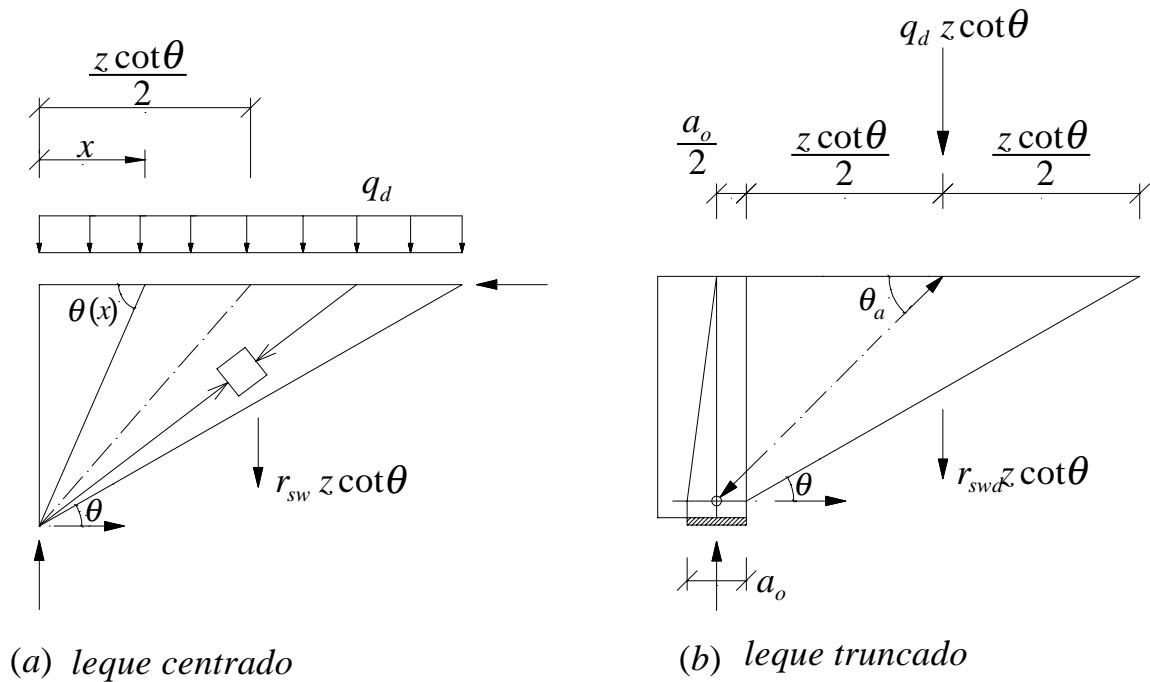


Fig. 6

$$\cot \theta_a = \frac{1}{2} \left( \frac{a_o}{z} + \cot \theta \right) \quad (8)$$

Assim, p. ex., se  $\cot \theta = 2$  e  $\frac{a_o}{z} = \frac{200}{800} = 0,25$ , resulta  $\cot \theta_a = 1,125$ , ou  $\theta_a = 41,6^\circ \gg \theta = 26,6^\circ$ . Note-se que, se a largura do apoio for desconsiderada, resulta  $\theta_a = 45^\circ$ . Como se vê, as tensões de compressão no leque devem ser verificadas apenas no nó  $ABC$ , Fig. 7 ou Fig. 8. A formação do nó de apoio pode dar-se de diferentes maneiras, algumas delas mostradas na Fig. 8.

Os dois casos extremos, representados na Fig. 7, são calculados a seguir. Supõe-se a resistência do concreto da alma,  $f_{cd2}$ , limitada a  $12MPa$ , na viga da Fig. 5, para a qual se tem  $\cot \theta = 1,5$  e  $\cot \theta_a = 0,75$  ou  $\theta_a = 53,13^\circ$ .

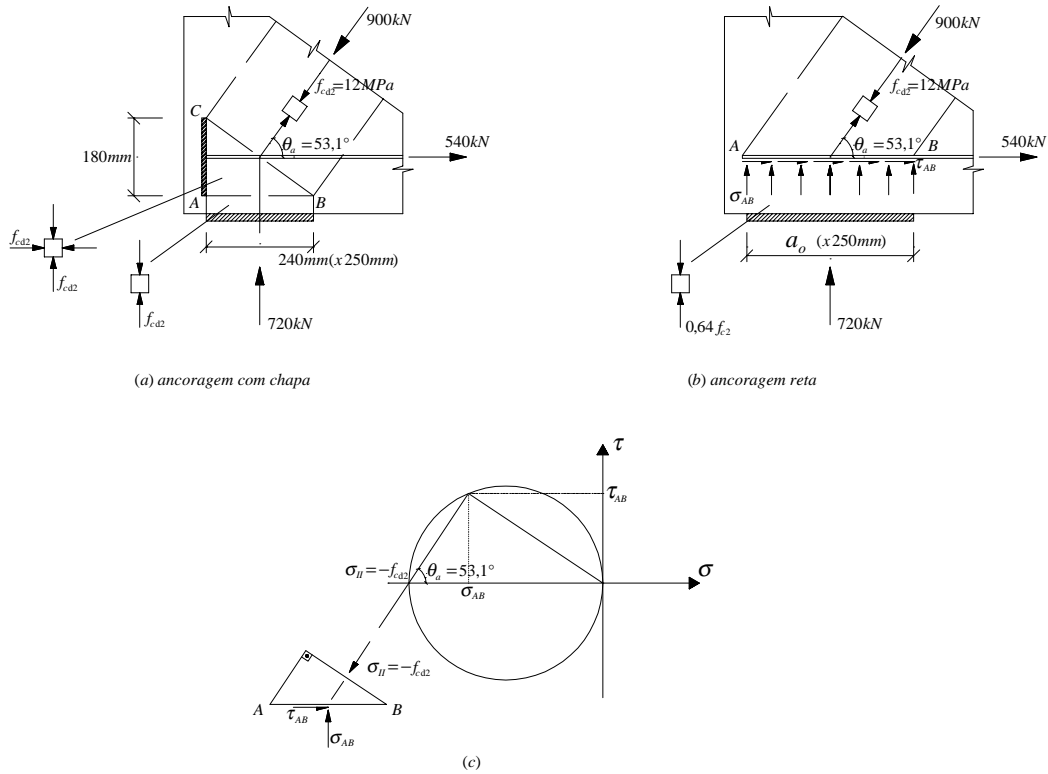


Fig. 7

Na Fig. 7a tem-se, no nó  $ABC$ , um estado duplo de tensão semi-hidroestático, favorável ao concreto. Se a chapa  $AC$  for eliminada, a força na armadura tem de ser transmitida ao concreto por tensões de aderência  $\tau_{AB}$ , entre a barra da armadura e a biela inclinada. Para manter a tensão normal solicitante nessa biela igual à resistência  $f_{cd2}$ , resulta que a tensão normal na placa de apoio, de dimensões  $a_o \times 250 \text{ mm}$ , passa a ser igual a 64% de  $f_{cd2}$ , pois, cf. a Fig. 7c, tem-se, com  $\sigma_{AB} < 0$  e  $\theta_a = 53,13^\circ$ :

$$\tan(90 - \theta_a) = -\frac{\tau_{AB}}{\sigma_{AB}}$$

$$\tau_{AB}^2 = -\sigma_{AB}(f_{cd2} + \sigma_{AB})$$

donde  $\tau_{AB} = 0,48f_{cd2}$  e  $\sigma_{AB} = -0,64f_{cd2}$ . Portanto, a largura  $a_o$ , neste caso, deve ser aumentada de  $240 \text{ mm}$  (Fig. 7a) para  $240/0,64 = 375 \text{ mm}$  (Fig. 7b), pois a reação de apoio é a mesma em ambas soluções.

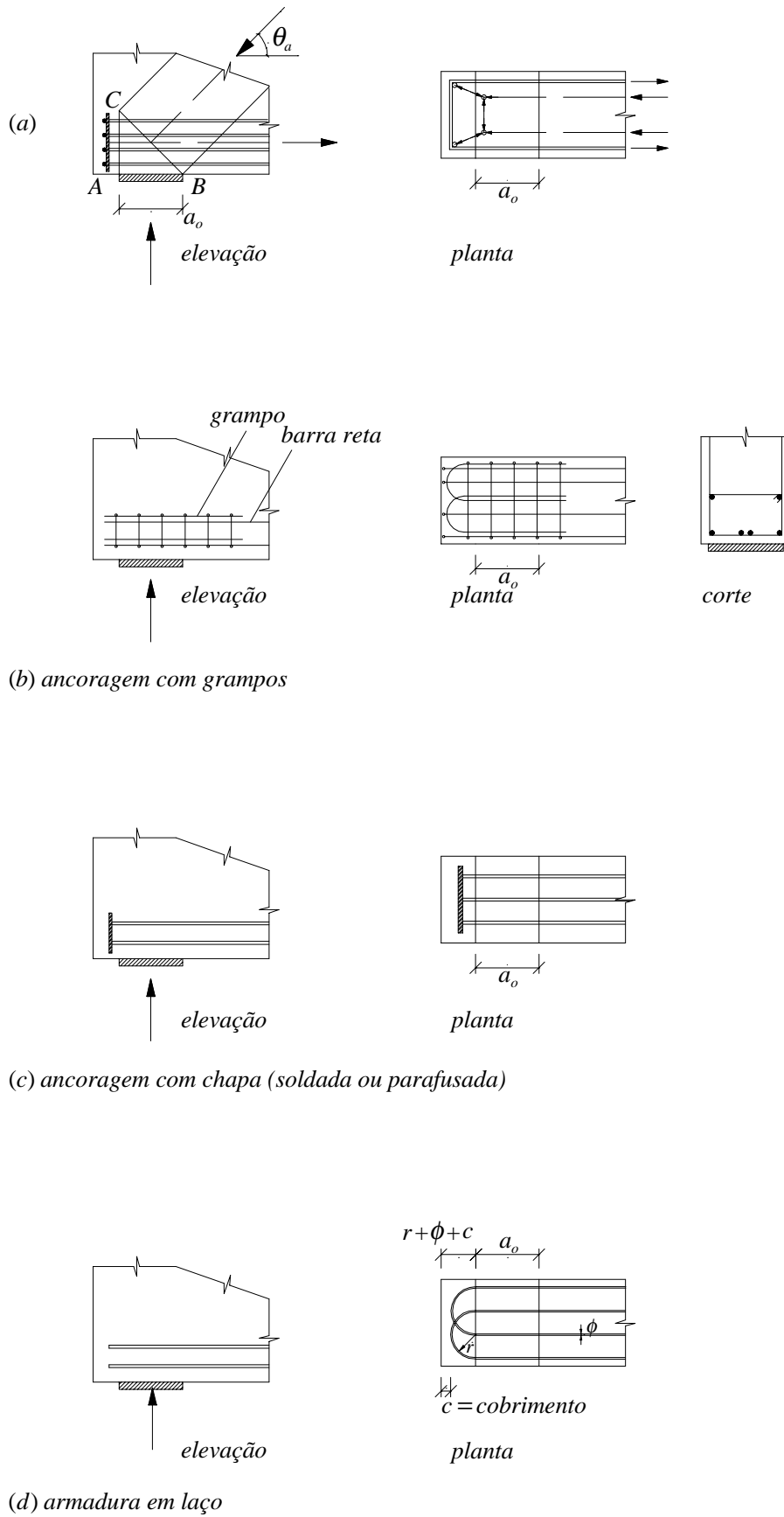


Fig. 8

Nas peças que não apresentam variação brusca de geometria e da carga, é possível estabelecer os esforços resistentes em função dos esforços solicitantes  $M_d$ ,  $N_d$  e  $V_d$ , observando-se que estes devem ser os resultantes, não no CG da seção (como se considera na análise estrutural), mas à meia altura da seção resistente à força cortante. Ver a Fig. 9.

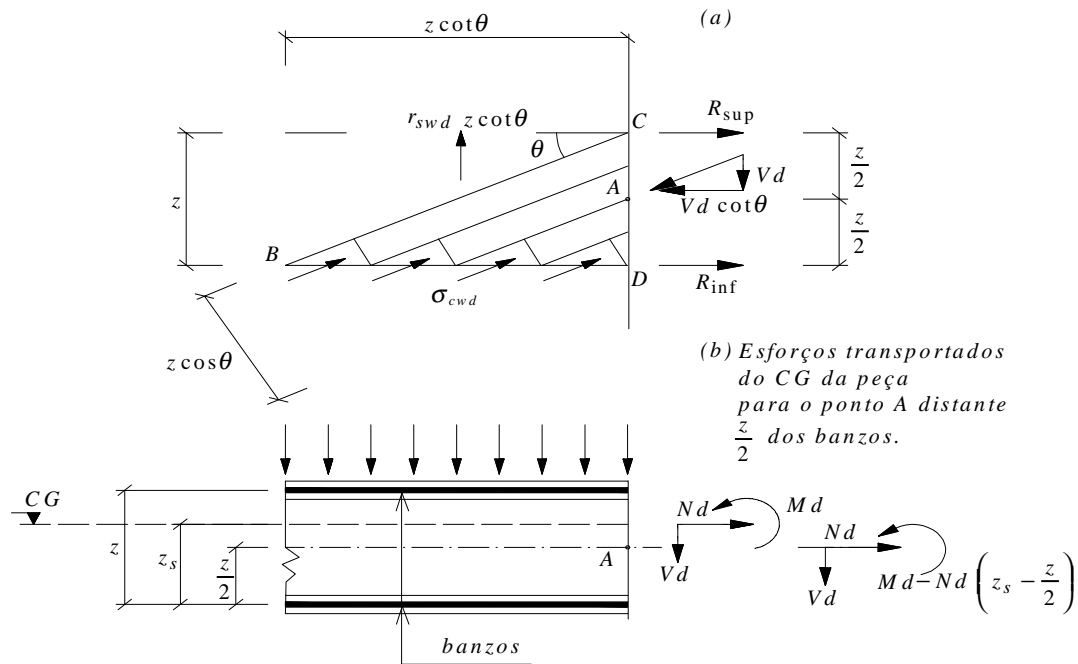


Fig. 9

As forças nos banzos são iguais a:

$$R_{sup} = -\frac{M_d}{z} + N_d \frac{z_s}{z} + \frac{V_d}{2} \cot \theta \quad (9a)$$

$$R_{inf} = \frac{M_d}{z} + N_d \left( \frac{z - z_s}{z} \right) + \frac{V_d}{2} \cot \theta \quad (9b)$$

onde  $z_s$  é a distância entre o banzo tracionado e o CG da peça.  $M_d$ ,  $N_d$  e  $V_d$  são positivos como indicados na Fig. 9b. A força  $R$  nos banzos é positiva se for tração.

A tensão de compressão do concreto da alma pode ser obtida da Fig. 9a:

$$\frac{V_d}{\sin \theta} = \sigma_{c wd} b_w z \cos \theta$$

OU

$$\sigma_{c wd} = \frac{V_d}{b_w z} \frac{1}{\sin \theta \cos \theta} = \frac{V_d}{b_w z} (\tan \theta + \cot \theta) \leq f_{cd2} \quad (10)$$

As resistências equivalentes do concreto do banzo comprimido,  $f_{cd1}$ , e da alma e flange,  $f_{cd2}$ , resultam das expressões dadas a seguir. No banzo comprimido tem-se, cf. o MC-90, item 6.2.2.2, e a NBR 6118, itens 17.4.2.2 e 17.4.2.3:

$$f_{cd1} = 0,85 \left(1 - \frac{f_{ck}}{250}\right) f_{cd} \quad (11)$$

$$f_{cd2} = 0,7 f_{cd1} = 0,60 \left(1 - \frac{f_{ck}}{250}\right) f_{cd} \quad (12)$$

com  $f_{ck}$  em MPa,  $f_{cd} = \frac{f_{ck}}{\gamma_c}$

A resistência do concreto da alma,  $f_{cd2}$ , deve ser menor que  $f_{cd1}$ , pois nela há um estado duplo de tensão do tipo compressão-tração. As tensões de tração originam-se das tensões de aderência entre o estribo e o concreto envolvente e das tensões de atrito na fissura. Esta redução é igual a 30% em relação a  $f_{cd1}$ , cf. mostra a Equação (12).

No que segue, quando for o caso de marcar a diferença entre os esforços solicitantes e resistentes, usam-se, respectivamente, os sub-índices maiúsculos  $S$  e  $R$ .

A distância  $z$  entre os banzos pode ser admitida, a favor da segurança, como sendo a da seção mais crítica ( $V = 0$ ), no segmento da viga onde a força cortante mantém seu sinal. A NBR 6118: 2003 admite  $z = 0,9d$ , onde  $d$  é a altura útil da referida seção crítica. Com isto, a força cortante máxima resistida pela alma da viga é igual a (em (10) substitui-se  $\sigma_{cw}$  por  $f_{cd2}$ ,  $z$  por  $0,9d$ , e usa-se a (12)):

$$V_{Rd2} = 0,9 f_{cd2} b_w d \sin \theta \cos \theta = 0,54 \left(1 - \frac{f_{ck}}{250}\right) \frac{f_{cd} b_w d}{\tan \theta + \cot \theta} \quad (13)$$

Este limite deve ser respeitado para evitar, com a devida segurança, o esmagamento do concreto da alma.

A força no estribo por unidade de comprimento,  $r_{swd}$ , decorre do equilíbrio do elemento  $BCD$ , Fig. 9a, na direção vertical:

$$r_{swd} = \frac{V_{Sd}}{z \cot \theta}$$

E como  $r_{swd} = \frac{A_{sw}}{s} f_{ywd}$ , obtém-se a área da armadura transversal (estribos verticais, no caso) igual a:

$$\frac{A_{sw}}{s} = \frac{V_{Sd}}{f_{ywd} z \cot \theta} \quad (14)$$

onde  $s$  é o espaçamento longitudinal do estribo e  $A_{sw}$  é a área do estribo, contados nela todos os seus ramos.

Note-se que a armadura no trecho  $BD$  depende da força cortante na seção  $D$ , que é o menor valor de  $V$  nesse segmento. O contrário ocorreria se toda a carga  $q_d$  fosse aplicada na base da viga. Assim, se houver uma parcela  $q_{d,inf}$  aplicada na base da viga, esta se soma a  $\frac{V_{Sd}}{z \cot \theta}$ , pois esta carga deve ser suspensa até o banzo superior, donde:

$$\frac{A_{sw}}{s} = \frac{\frac{V_{Sd}}{z \cot \theta} + q_{d,inf}}{f_{ywd}} \quad (15)$$

As resistências da armadura longitudinal dos banzos é  $f_{yd} = \frac{f_{yk}}{\gamma_s}$  e da armadura transversal da alma e flanges (especialmente da flange tracionada longitudinalmente),  $f_{ywd} = \frac{f_{ywk}}{\gamma_s}$ , com  $f_{ywk} \leq 500 \text{ MPa}$  e  $\gamma_s = 1,15$ . A restrição da resistência do aço a  $500 \text{ MPa}$ , mesmo que seja usado o CA-60 como estribo, tem em vista *limitar a abertura da fissura inclinada em serviço*.

As flanges de uma seção duplo T são também tratadas como chapas, de forma análoga à alma da viga. Ver a Fig. 10. Nas interfaces alma-flange dos banzos comprimido e tracionado desenvolve-se um fluxo de força cortante por unidade de comprimento,  $v_{fl}$ , igual ao gradiente da força no banzo considerado. Nas zonas  $B$  (paralelogramos),  $v_{fl}$  é constante. Nas zonas  $D$  (leques),  $v_{fl}$  tem variação linear. Considerando que as chapas da alma e das flanges têm espessuras finitas,  $b_w$  na alma e  $h_{fl}$  nas flanges, a rigor só se considera a parcela de  $v_{fl}$  que forma o campo de tensões da parte da flange fora da alma.

O ângulo do campo de compressão das flanges pode ser escolhido como para a alma, observando-se que no banzo comprimido há fluxo de cisalhamento com tensões normais longitudinais de compressão e no banzo tracionado há fluxo de cisalhamento com tensões normais de tração. Para simplificar, pode-se escolher  $\cot \theta_{fl} = 2$  nas flanges comprimidas, e  $\cot \theta_{fl} = 1$  nas flanges

tracionadas. Note-se que a força a ancorar no apoio deve contar com a parcela da armadura longitudinal contida na largura da alma.

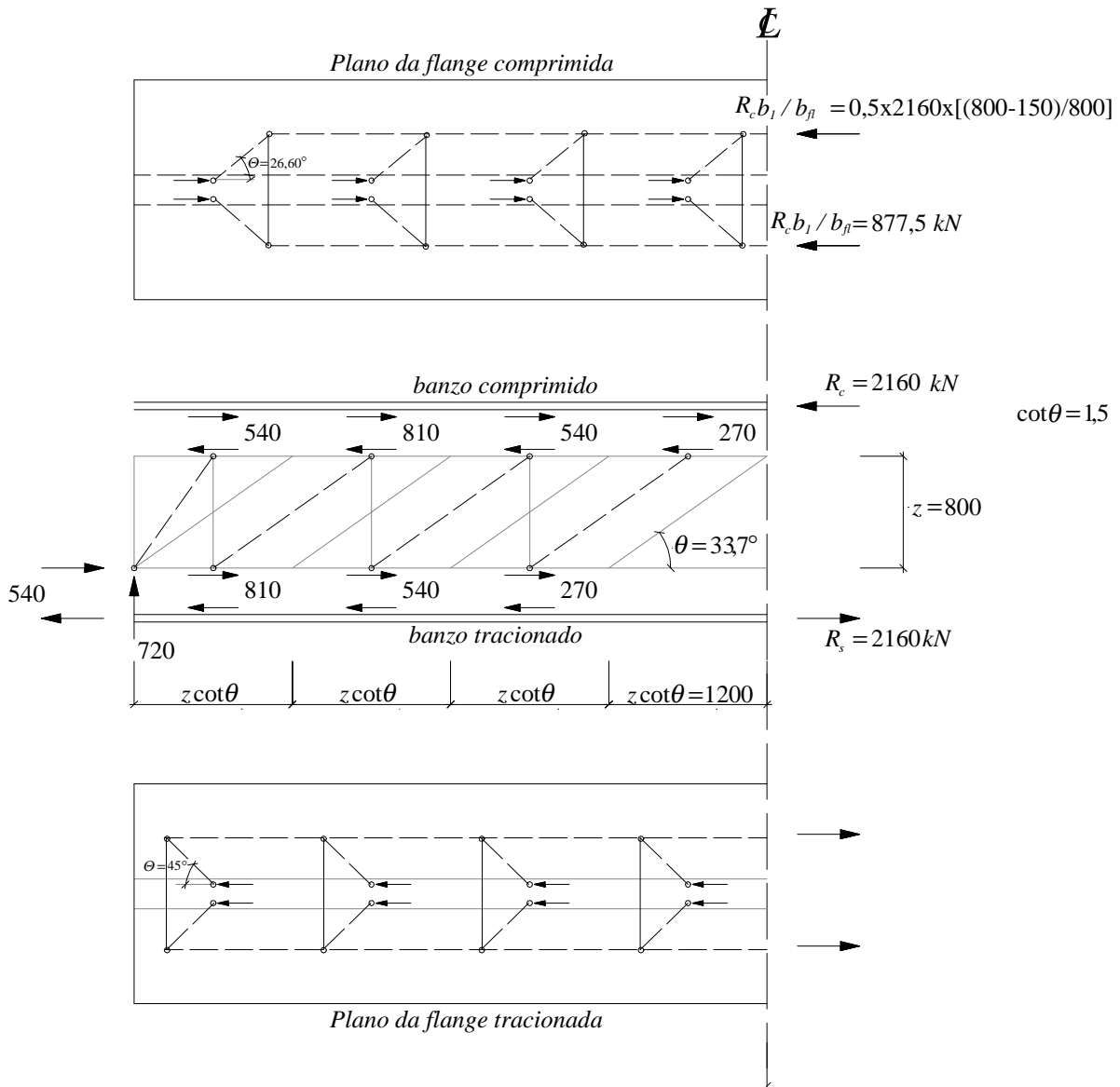


Fig. 10

Note-se também que, na flange comprimida, a parcela do fluxo total  $v_{fl}$  que cabe a um dos lados é dada por

$$\frac{b_1}{b_{fl}} v_{fl} \quad (16)$$

se o bloco de tensões normais, de altura  $y$ , estiver contido na flange. Esta expressão pode ser melhorada, se, ao adotar-se  $y = h_{fl}$ , resultar uma largura

da flange *menor* que a efetivamente existente, considerando-se um bloco retangular de tensões no concreto, com a máxima resistência (Regan, 1999).

Se  $y > h_{fl}$ , então deve-se ter

$$\frac{A_1}{A_c} v_{fl} = \frac{b_1 h_{fl}}{(b_{fl} - b_w) h_{fl} + b_w y} v_{fl} \quad (17)$$

sendo  $b_1$  e  $A_1$  a largura e a área correspondentes à parte considerada da flange fora da alma. O mesmo vale para a flange tracionada, mas a fração que multiplica  $v_{fl}$  é dada em termos de área das armaduras longitudinais  $A_{s1}/A_s$ , onde  $A_{s1}$  é a área da armadura contida na parte considerada da flange fora da alma e  $A_s$  é a área total. Como se vê, nesta flange o fluxo  $v_{fl}$  depende da distribuição das barras da armadura longitudinal.

De acordo com a NBR 6118:2003, item 17.4.1.1, o valor mínimo da área da armadura transversal por unidade de comprimento, vem a ser:

$$\left(\frac{A_{sw}}{s}\right)_{\min} = 0,2 \frac{f_{ctm}}{f_{ywk}} b_w \quad (18)$$

Esta expressão é válida para estribos verticais, sendo  $f_{ywk} \leq 500 \text{ MPa}$ , mesmo se for usado CA-60, como já dito.

O ângulo  $\theta$  do campo de compressão, nas peças de concreto armado em flexão simples, é normalmente escolhido na faixa  $45^\circ$  a  $25^\circ$ . Com isto, a resistência do concreto da alma pode ser maximizada, se ângulo  $\theta$  for escolhido igual a  $45^\circ$ , mas, em contrapartida, o consumo de estribos também será máximo.

A área da armadura longitudinal decorre do diagrama da força no banzo tracionado, obtido com as cargas de cálculo, dividido pela resistência de cálculo  $f_{yd}$ . A armadura resultante pode, como se disse, ser parcialmente interrompida de modo a cobrir esse diagrama, bastando adicionar o comprimento de ancoragem às barras interrompidas. Esta distribuição longitudinal das barras do banzo tracionado corresponde ao diagrama da força resistente desse banzo, o qual deve cobrir o diagrama da força solicitante.

A armadura do apoio extremo ( $M_d = 0$ ) é calculada com a força obtida de (9b), e  $\theta = \theta_a$  da Equação (8), donde:

$$R_{\inf} = N_d \left( \frac{z - z_s}{z} \right) + \frac{V_d}{2} \cot \theta_a \quad (19)$$



Esta expressão é válida nos casos de apoio indireto (viga apoiada em viga, torção de compatibilidade desprezada), e  $z_s$  é considerado como no vão. Se o apoio for direto (carga na face superior da viga e apoio na face inferior) faz-se  $z_s = 0$ , e elimina-se o fator  $1/2$  que multiplica a força cortante.

Para a área mínima da armadura longitudinal, que deve chegar aos apoios extremos e internos, e a ancoragem das barras longitudinais nesses apoios, a NBR 6118: 2003 exige, no item 18.3.2.4, que:

$$A_{s,apoio} \geq \frac{A_{s,v\tilde{a}o}}{3} \quad \text{se } M_{apoio} = 0 \text{ ou negativo e de valor absoluto } |M_{apoio}| \leq 0,5M_{v\tilde{a}o}, \text{ e} \quad (20)$$

$$A_{s,apoio} \geq \frac{A_{s,v\tilde{a}o}}{4} \quad \text{se } M_{apoio} < 0 \text{ e de valor absoluto } |M_{apoio}| > 0,5M_{v\tilde{a}o}. \quad (21)$$

Nos apoios extremos a ancoragem das barras longitudinais do banzo tracionado deve ser maior que o maior dos seguintes valores:

$$l_{b,apoio} \geq \max \left\{ \begin{array}{l} l_{b,nec} \\ r + 5,5\phi \\ 60 \text{ mm} \end{array} \right\} \quad (22)$$

onde  $l_{b,nec}$  é o comprimento de ancoragem necessário, cf. o item 9.4.2.5 da NBR 6118: 2003,  $r$  é o raio de curvatura interno do gancho (cf. a Tabela 9.1 da mesma norma), e  $\phi$  é o diâmetro da barra longitudinal. Se, ortogonalmente ao plano do gancho, houver um cobrimento não inferior a  $70 \text{ mm}$ , e as ações acidentais não ocorrerem com grande freqüência com seu valor máximo (o que é o caso das pontes e das vigas de ponte rolante), é permitido desconsiderar  $l_{b,nec}$ , prevalecendo o maior dos dois outros valores. Nos apoios intermediários, pode-se ancorar as barras longitudinais com um comprimento pelo menos igual a  $10\phi$ , dentro do pilar, desde que não haja possibilidade de ocorrência de momentos positivos nessa região, provocados por situações imprevistas, como recalque de apoio e a ação do vento. Se esta possibilidade existir, deve-se usar barras contínuas ou emendadas sobre o apoio.

Os estribos devem ser fechados e devem envolver as armaduras dos banzos, especialmente a do tracionado. O diâmetro  $\phi_t$  das barras que formam os estribos está sujeito às restrições seguintes (item 18.3.3.2 da NBR 6118: 2003):

$$\phi_t \geq 5 \text{ mm} \text{ e } \phi_t \leq \frac{b_w}{10} \quad (23)$$

Os espaçamentos longitudinais entre estribos e transversais entre os seus ramos devem garantir uma uniformidade no campo de compressão, através das seguintes condições (do mesmo item da NBR):

Direção longitudinal:

$$\text{Se } V_{Sd} \leq 0,67V_{Rd2} \text{ então } s \leq \begin{cases} 0,6d \\ 300mm \end{cases} \quad (24a)$$

$$\text{Se } V_{Sd} > 0,67V_{Rd2} \text{ então } s \leq \begin{cases} 0,3d \\ 200mm \end{cases} \quad (24b)$$

Direção transversal (paralela à largura da alma), distância entre ramos sucessivos do estribo:

$$\text{Se } V_{Sd} \leq 0,20V_{Rd2} \text{ então } s \leq \begin{cases} d \\ 800mm \end{cases} \quad (25a)$$

$$\text{Se } V_{Sd} > 0,20V_{Rd2} \text{ então } s \leq \begin{cases} 0,6d \\ 350mm \end{cases} \quad (25b)$$

Estes são os espaçamentos máximos. Os valores mínimos desses espaçamentos devem permitir, com folga, a passagem do vibrador, para obter-se um adensamento adequado da argamassa. Ver o mesmo item da NBR para outras condições.

### 3. O Modelo de Cálculo I da NBR 6118 para o Dimensionamento à Força Cortante

O modelo da cálculo I da NBR 6118, cf. o item 17.4.2.2, é um caso particular da teoria exposta anteriormente, e consiste em adotar a inclinação  $\theta$  do campo de compressão igual a  $45^\circ$ , descontando-se da força cortante solicitante,  $V_{S,d}$  (ou da força cortante efetiva,  $V_{S,d,ef}$ , na protensão) a parcela  $V_c$ . Este desconto é feito apenas no cálculo da armadura transversal. Esta força resistente decorre principalmente do atrito entre as faces da fissura inclinada, e tem seu valor estabelecido a partir da seguinte grandeza:

$$V_{co} = 0,6f_{ctd}b_wd$$

com

$$f_{ctd} = \frac{0,20f_{ck}^{2/3}}{\gamma_c}, \text{ em MPa e } \gamma_c = 1,4 \quad (26)$$

(a) nos elementos estruturais em flexão simples e na flexo-tração com a LN na seção:

$$V_c = V_{co} \quad (27)$$

(b) nos elementos estruturais protendidos ou em flexo-compressão

$$V_c = V_{co} \left(1 + \frac{M_o}{M_{Sd, \max}}\right) \leq 2V_{co} \quad (28)$$

onde

$M_o$  é o momento fletor que anula, na seção crítica, a tensão normal de compressão na borda do banzo tracionado no ELU, consideradas apenas a protensão ( $\gamma_p = 0,9$ ) e a força normal das cargas ( $\gamma_f = 1$ ) e, se houver, a força normal hiperestática de protensão ( $\gamma_p = 0,9$ ). Note-se que é mais desfavorável considerar a protensão após todas as perdas.

$M_{Sd, \max}$  é o momento fletor da seção crítica (ou o de maior módulo, se houver duas seções críticas) no segmento considerado da peça, originado pelas cargas de cálculo e pelos hiperestáticos de protensão.

Com  $\theta = 45^\circ$  posto na Equação (13), a segurança contra o esmagamento do concreto da alma é verificada através da seguinte condição:

$$V_{Rd2} = 0,27 \left(1 - \frac{f_{ck}}{250}\right) f_{cd} b_w d \geq V_{Sd} \text{ ou } V_{Sd, ef} \quad (29)$$

A armadura transversal é dimensionada através da força cortante solicitante restante. Considerando-se somente estribos ortogonais ao eixo da peça ( $\alpha = 90^\circ$  na expressão de  $V_{Sw}$ , cf. o item 17.4.1.2.1 da NBR), obtém-se:

$$V_{Sw} = V_{Sd} - V_c = \frac{A_{sw}}{s} 0,9 d f_{ywd}, \text{ ou} \quad (30a)$$

$$V_{Sw} = V_{Sd, ef} - V_c = \frac{A_{sw}}{s} 0,9 d f_{ywd} \text{ na protensão} \quad (30b)$$

O efeito da força cortante na armadura longitudinal é considerado, indiretamente, na decalagem do diagrama da força no banzo tracionado.

Obtém-se, a seguir, a força cortante mínima correspondente às parcelas resistidas por atrito na fissura e pela armadura mínima. Das equações (8.6.24), (26), (27) e (18) resulta:

$$V_{Rd, \min} = V_{co} + \left(\frac{A_{sw}}{s}\right)_{\min} 0,9 b_w d f_{ywd}$$

$$V_{Rd,min} = \left( \frac{0,6 \times 0,2}{1,4} + \frac{0,2 \times 0,3 \times 0,9}{1,15} \right) b_w d f_{ck}^{2/3} = (0,086 + 0,047) b_w d f_{ck}^{2/3}$$

$$V_{Rd,min} = 0,133 b_w d f_{ck}^{2/3}, \text{ com } f_{ck} \text{ em MPa} \quad (31)$$

Se ocorrer  $V_{Sw} \leq V_{Rd,min}$ , basta armadura transversal mínima dada pela Equação (18).

Note-se que esta dedução explica a origem do valor mínimo da taxa mecânica da armadura transversal, uma vez que a força cortante resistente mínima é

$$\frac{V_{Rd,min}}{V_{co}} = \frac{0,133}{0,086} = 1,55 \text{ vezes maior que a parcela transmitida por atrito na}$$

fissura, e este valor é praticamente igual ao coeficiente de segurança  $\gamma_c = 1,5$ , adotado no MC-90.

#### 4. Escolha da Inclinação do Campo de Compressão

No item 2, foi dada a solução para o dimensionamento à força cortante através de campos descontínuos de tensão, podendo-se escolher livremente o ângulo  $\theta$  do campo de compressão, para peças de concreto armado em flexão simples, na faixa  $45^\circ$  a  $25^\circ$ , correspondente a  $\cot\theta = 1$  e  $\cot\theta = 2$ , aproximadamente. A faixa recomendada pelo MC-90, item 6.3.3.1, é  $45^\circ$  a  $18,4^\circ$ , correspondente a  $\cot\theta = 1$  e  $\cot\theta = 3$ . Os ângulos menores consideram as peças com força normal de compressão, especialmente as peças protendidas, normalmente projetadas para não fissurar em serviço (Nielsen, 1998).

No que segue, indica-se a parcela resistente  $V_c$  por  $V_{cd}$ , por coerência com a bibliografia usada neste item (aliás, como se mostrou há pouco, o mais correto seria manter a primeira notação, pois o sub-índice  $d$  leva a crer que nesta parcela resistente foi introduzido um coeficiente de segurança material, quando os 50% desse coeficiente resultam da adoção da armadura transversal mínima).

Mostra-se agora outra possibilidade de escolha desse ângulo, porém não mais livremente. É possível provar (Kirmair, 1985 e Buchaim, 1998) que a taxa mecânica da armadura transversal é a mesma, se for dimensionada com o ângulo  $\theta$  do campo de compressão e com a força cortante  $V_{Sd,ef}$  (efetiva, i. e., descontada a parcela vinda da protensão), ou com o ângulo de inclinação da fissura  $\theta_{cr}$ , mas com a força cortante menor  $V_{Sd,ef} - V_{cd}$ , desde que entre estes ângulos seja atendida a seguinte equação:

$$\cot\theta = \cot\theta_{cr} \frac{1}{1 - \frac{V_{cd}}{V_{Sd,ef}}} \quad (32)$$

Para poder usar esta relação, é preciso ter o ângulo  $\theta_{cr}$  de inclinação da fissura, nas várias modalidades de flexão, o que é providenciado nas FIP Recommendations, 1999. Ver também o trabalho de Reineck, 2002. O ângulo de inclinação da fissura e a força cortante transmitida por atrito na fissura dependem da força normal e da abertura da fissura na alma. Como aproximação, são admitidos os seguintes valores:

(a) peças sem força normal e sem protensão:

$$\cot \theta_{cr} = 1,20, \text{ ou seja, } \theta_{cr} \cong 40^\circ \quad (33)$$

$$V_{cd} = 0,052(b_w z f_{cd1}) \quad (34)$$

(b) peças com força normal de compressão e peças protendidas:

$$\cot \theta_{cr} = 1,20 - 0,2 \frac{\sigma_{xd}}{f_{ctm}} \quad (35)$$

$$V_{cd} = 0,075 \left(1 - \frac{\cot \theta_{cr}}{4}\right) (b_w z f_{cd1}) \geq 0 \quad (36)$$

(c) peças com força normal de tração

$$\cot \theta_{cr} = 1,20 - 0,9 \frac{\sigma_{xd}}{f_{ctm}} \geq 0 \quad (37)$$

$$V_{cd} = 0,075 \left(1 - \frac{0,36}{\cot \theta_{cr}}\right) (b_w z f_{cd1}) \geq 0 \quad (38)$$

onde:

$$\sigma_{xd} = \frac{N_{Sd}}{A_o} = \text{tensão solicitante no CG, negativa se compressão, } A_o = \text{área da} \quad (39)$$

seção

$$f_{cd1} = 0,85 \frac{f_{ck}}{\gamma_c} \text{ e } \gamma_c = 1,4 \text{ (sem o fator } (1 - f_{ck}/250) \text{ incluído em (11))}$$

$$f_{ctm} = 0,30 f_{ck}^{2/3}, \text{ em MPa}$$

Tendo em vista a Equação (32), pode-se colocar a seguinte questão: qual é, na flexão simples, o ângulo de inclinação do campo de compressão que leva à mesma armadura transversal (estribos verticais) obtida pelo método I da NBR 6118: 2003, calculada com  $V_{Sd,ef} - V_{cd}$  e  $\theta = 45^\circ$ ? A Fig. 11 mostra o ângulo de inclinação do campo de compressão implícito no modelo I da NBR 6118,

com  $\theta = 45^\circ$  e  $\frac{V_{Sd}}{V_{co}}$  variando de 1,55 a 10. Como mostra a figura, para forças cortantes acima do valor correspondente a  $V_{Rd, \min} = 1,55V_{co}$ , obtido na dedução de (31), a inclinação do campo de compressão varia entre  $\approx 20^\circ$  e pouco abaixo de  $45^\circ$ . Note-se também que, no dimensionamento de um segmento da peça pelo método I, a parcela resistente  $V_{co}$  é tomada como constante, enquanto a força cortante solicitante é geralmente decrescente. Com isto, a armadura transversal é dimensionada equivalentemente, com inclinações do campo de compressão cada vez menores. Neste caso, o modelo seria o de campos descontínuos de tensão formados apenas por leques justapostos seqüencialmente, correspondendo, portanto, a uma treliça de banzos paralelos e diagonais comprimidas de inclinações decrescentes em direção à seção crítica. Mas este não é o caso de dimensionamento usual através de campos descontínuos de tensão. Como mostrado na Fig. 4, escolhe-se livremente o ângulo  $\theta$  de inclinação do campo de compressão numa determinada faixa, e mantém-se constante esse ângulo em todo o segmento da peça a dimensionar. Logo, a armadura transversal assim dimensionada é algo superior àquela obtida pelo método I da NBR 6118.

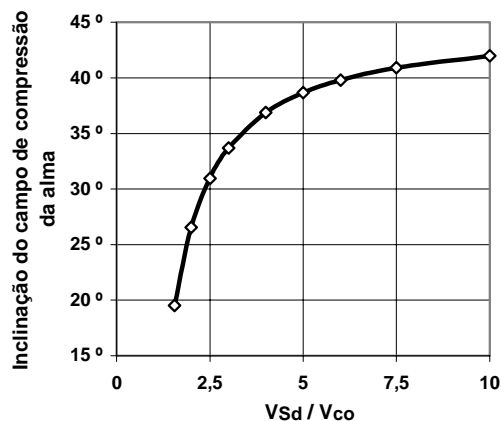


Fig. 11

Assim, do exposto fica muito evidente que, não importa qual seja a teoria aplicada no dimensionamento à força cortante, as diferenças no consumo de armadura *total* por força cortante não podem ser grandes. Portanto, o critério de escolha do ângulo  $\theta$  do campo de compressão deverá orientar-se pelo aspecto construtivo, na medida do possível diminuindo o consumo de estribos e aumentando o consumo de armadura longitudinal. Entretanto, é preciso garantir a ancoragem adequada da armadura longitudinal no apoio, cuja força aumenta quando  $\theta$  diminui. Além disso, para evitar abertura exagerada da fissura inclinada em serviço, a tensão no estribo deve ser controlada. Como orientação, o valor desta tensão em serviço é cerca de  $250 \text{ MPa}$ . O modelo de cálculo é o mesmo do ELU, podendo-se adotar a inclinação  $\theta_s > \theta$  do campo de compressão *em serviço* decorrente da seguinte equação

$$\cot \theta_s = \sqrt{\cot \theta} \quad (40)$$

onde  $\theta$  é o valor adotado no ELU. (O sub-índice  $s$  indica *serviço*). Para os casos de fadiga, ver o item 23.5.3 da NBR 6118: 2003.

## 9. Bibliografia

ASSOCIAÇÃO BRASILEIRA DE NORMAS TÉCNICAS (ABNT). **Projeto de estruturas de concreto - Procedimento**: NBR 6118: 2003. Rio de Janeiro, 2003.

ASSOCIAÇÃO BRASILEIRA DE NORMAS TÉCNICAS (ABNT). **Projeto e execução de pontes de concreto armado e protendido**: NBR 7187. Rio de Janeiro, Maio 1987.

BUCHAIM, R. **Resistência à força cortante**. Editora UEL. Londrina, 1998.

BUCHAIM, R. **A influência da não-linearidade física do concreto armado na rigidez à flexão e na capacidade de rotação plástica**. 2001. Tese (Doutorado) – Escola Politécnica da Universidade de São Paulo, São Paulo. (acessível em: [www.uel.br/ctu/dtru](http://www.uel.br/ctu/dtru), ou [www.teses.usp.br](http://www.teses.usp.br)).

COLLINS, M. P.; MITCHELL, D. **Prestressed concrete basics**. Ottawa: Canadian Prestressed Concrete Institute, 1987.

COMITÉ EURO-INTERNATIONAL DU BÉTON. **CEB-FIP Model Code 1990**. London: Thomas Telford, 1993.

EUROCODE 2: Projecto de estruturas de betão. Pt. 1: Regras gerais e regras para edifícios. Versão portuguesa para aprovação pela CT 115. Dez. 1991.

FÉDÉRATION INTERNATIONALE DE LA PRECONTRAİNTE. **Practical design of structural concrete**. London: SETO, 1999. FIP Recommendations.

KIRMAIR, K. **Das Schubtragverhalten schlanker Stahlbetonbalken. Theoretische und experimentelle Untersuchungen für Leicht- und Normalbeton**. Juli 1985. Dissertation, Technische Universität München.

MARTI, P.; u. a. **Autographie Stahlbeton GZ I**. Institut für Baustatik und Konstruktion (IBK), ETH Zürich.

MARTI, P.; ALVAREZ, M.; KAUFMANN, W.; SIGRIST, V. **Tragverhalten von Stahlbeton**. Institut für Baustatik und Konstruktion, ETH Zürich. IBK Publication SP-008, September 1999.

MUTTONI, A.; SCHWARTZ, J.; THÜRLIMANN, B. **Design and detailing of reinforced concrete structures using stress fields**. Swiss Federal Institute of Technology, Zürich, Switzerland, 1989.

NIELSEN, M. P. **Limit analysis and concrete plasticity**. 2. Ed. Boca Raton: CRC Press, 1998.

REGAN, P. Ultimate limit state principles. In: FEDERATION INTERNATIONALE DU BÉTON. Bulletin 2. **Structural Concrete**: textbook on behavior, design and performance. Lausanne, 1999. V. 2, p. 141-223.

REINECK, K. H. Shear design in a consistent design concept for structural concrete based on strut-and-tie models. In: FEDERATION INTERNATIONALE DU BÉTON. Bulletin 16. **Design examples for the 1996 FIP recommendations 'Practical design of structural concrete'**. Lausanne, Jan. 2002, p. 165-186.